

II-250 工アレーションタンクにおける旋回流について

日本大学工学部 正会員 ○ 中村玄正

深谷宗吉

新日本設計(株)

小泉聖人

1. はじめに

活性汚泥法の散気式工アレーションタンクにおいては、通常、タンク底部又は中間部に散気装置を設置して、液中に気泡を送り込むことによって、活性汚泥微生物群の好気性代謝を維持するとともに、活性汚泥混合液に流速を与えることによって、混合液の攪拌・混合操作と、活性汚泥フロッフの沈降防止操作を行なっている。本研究は、工アレーション操作の上で、一つの指標となっている旋回流に関するものである。

2. 調査方法

調査の対象とした工アレーションタンクは、K市周辺のI・S・Tの3ヶ所のし尿処理場であり、そのタンク形状および設計諸元を図-1と表-1に示した。旋回流速の測定はプロペラ式流速計を行い、空気流量の測定は風程計を取付けた自製の空気流量測定器を用いて行なった。また、空塔速度算定の基準面積は、気泡の水面における分散度とした。

3. 結果と考察

1) 流動状態 図-2に、各タンクにおける代表的な旋の流動状態を示した。これより、旋の流れは、壁に沿う主旋回流れと、中央部の流れの遅いコア状の部分、さらに、屈曲部の渦流が存在していることがわかる。また、I処理場とS処理場は、タンクの形状はかなり似ているが、散気管の設置位置にちがいがあり、I処理場では主旋回流とは別な2次旋回流が発生している。

2) 流速について I処理場では表面ご水平流速13~54 cm/sec、底面ごとの水平流速19~46 cm/sec、散気装置上ごとの垂直流速は13~60 cm/secであり、S処理場では、表面ご13~52 cm/sec、底面ご5~45 cm/sec、散気装置上ご22~43 cm/secであり、T処理場では、表面ご24~48 cm/sec、底面ご12~26 cm/sec、散気装置上ごには23~27 cm/secの流速が得られている。このことより、散気装置上の気泡混相流速は、表面ごとの水平旋回流速と大きな相違はないようである。図-3には、各

処理場のタンク中央部における水平流速の分布状態を示した。この図に示されるように、各処理場とも、表面附近における水平旋回流速は極めて大きく、中心部

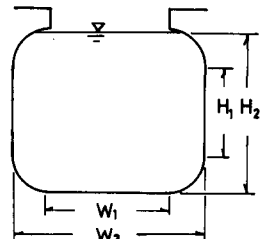


図-1 タンク形状

表-1 設計諸元と運転状況

項目	単位	I	S	T
設計				
設計投入量	Kl/日	20	36	63
希釀水量	m³/日	400	720	1260
滞留時間	hr	10.2	7.1	11.2
BiOD負荷	kg/m³/day	0.3	0.4	0.3
MLSS	m³/l	2000	2000	2000
空気量	m³/分	2.9	3.75	18.0
タンク容量	m³	178	225	620
形				
状				
寸	H ₁ m	2.0	1.5	2.5
法	H ₂ m	2.6	2.6	3.5
W ₁ m	2.0	2.0	3.5	
W ₂ m	3.0	3.2	5.0	
L m	12	15	20	
タンク系列		2	3	2
運転				
投入量	Kl/日	17.1~18.0	33.6~36.5	50.7~51.9
滞留時間	hr	12.5~11.9	8.0~7.4	14.7~14.3
平均MLSS	m³/l	2290	4117	3147
部分平均空気量	m³/sec	0.0061	0.0091	0.0065
平均空塔速度	m/sec	1.4	2.5	1.4

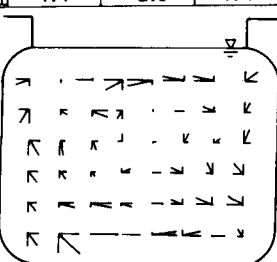
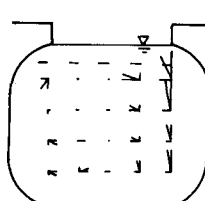
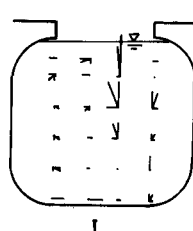
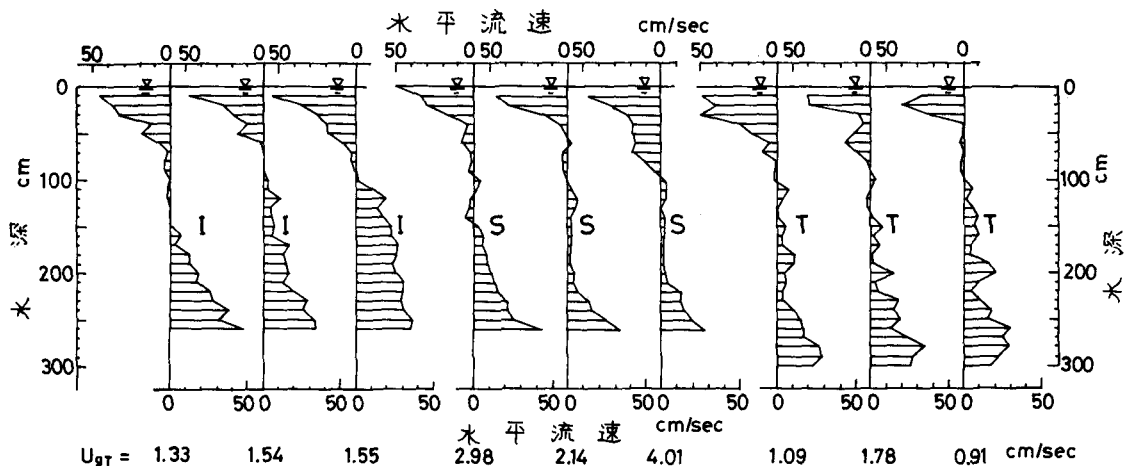


図-2 各タンク内ごの流動状態



に向かうにつれて、指数関数的に水平流速が減少している。これは、工アレーショントンク内の旋回流が気泡群によって直接誘起される一次的外部旋回流と、この外部流の内部摩擦によって二次的に運動する内部旋回流とによって構成されていることによるものであろう。また旋回流の中心部がタンク中央よりやや上部に位置していることがわかる。図-4, 5は、工アレーショントンクの中央表面流速を各点の空塔速度によって示したものであり、図中の計算値は、タンク内の液流動に関するエネルギー収支式

$$B_1 B_2 \frac{P_1 g H}{U_s + U_b} G_s U_s + \frac{P_2 g H}{U_s + U_b} G_s R_s U_b = f'_t \pi B_2 P_2 U_c^3 \frac{H_2}{2} \quad (1)$$

に基づいて求めてみた値である。式(1)は、タンク内の流が等角速度運動をするという考え方で導いたものであり、気泡の後流係数 f'_t 、流の流れの摩擦係数 f_t 、タンクの形状変化に伴なう流の運動状態の変化等は今後の大きな課題である。

3). MLSS の槽内変化。表-2はタンク内中央部ごとの深さ方向に対する各点より採水したMLSS濃度を示したものであり、各処理場ともに変動係数は0.1以下である。タンク底部などにおける汚泥の沈積はみられず、かなり良好に搅拌および汚泥沈降防止の流速付与が行なわれると考えられる。

4.まとめ

実プラントにおける工アレーショントンク内の旋回流について調査した。これらの処理場では、ほぼ十分な搅拌・混合操作、流速付与効果がみられていることがわかる。

表-2 槽内MLSS濃度

たが、今後さらに、液流動に関するエネルギー収支式の検討、酸素収支等を含めた旋回流の考え方を進めた。

本調査にご協力いただいた各処理場の職員および卒業研究生に謝意を表します。

図-3 水平流速の変化

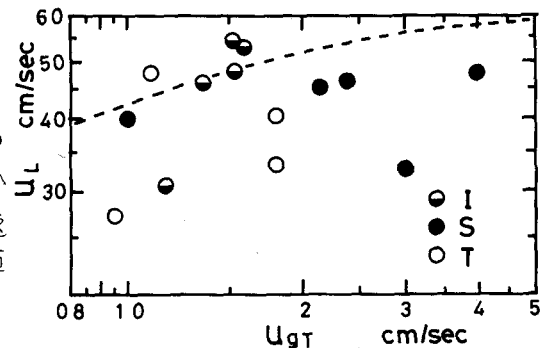


図-4 代表旋回流速の変化

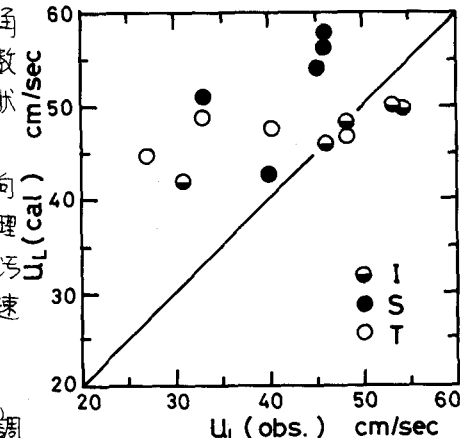


図-5 実測値と計算値の比較

位置	水面	90cm	70	50	30	10	平均値	標準偏差	変動係数
I	2204	2552	2094	2024	2348	2518	2290	219	0.096
S	3878	4084	4068	4310	4240	4124	4117	150	0.036
T	3212	3110	3152	3186	3066	3156	3147	53	0.017